УДК 53.08

ТЕМПЕРАТУРНАЯ ЗАВИСИМОСТЬ СТРУКТУРНЫХ ПАРАМЕТРОВ ТОНКИХ ПЛЕНОК НАНОКОМПОЗИТА ПОЛИСТИРОЛ—ФУЛЛЕРЕН C_{60}/C_{70} ПО ДАННЫМ НЕЙТРОННОЙ РЕФЛЕКТОМЕТРИИ

© 2024 г. Т. В. Тропин^а, М. В. Авдеев^{а, *}, В. Л. Аксенов^а

^аЛаборатория нейтронной физики им. И.М. Франка, Объединенный институт ядерных исследований, Дубна, Московская область, 141980 Россия

*e-mail: avd@nf.jinr.ru

Поступила в редакцию 18.12.2023 г. После доработки 09.02.2024 г. Принята к публикации 09.02.2024 г.

Методом нейтронной рефлектометрии зеркального отражения в диапазоне $15-150^{\circ}$ С исследованы температурные зависимостиструктурных параметровтонких пленок нанокомпозитов полистиролфуллерен C_{60}/C_{70} с низким содержанием наночастиц в окрестности температуры стеклования полимерной матрицы. Полученные зависимости толщин пленок от температуры использованы для оценки температуры стеклования пленочных композитов. В случае пленок с фуллереном C_{60} зависимость имеет стандартный вид. Температура стеклования композитной пленки понижается в сравнении с известным значением для чистого объемного полимера. В случае пленок с фуллереном C_{70} при переходе к большим температурам наблюдается немонотонная зависимость толщины пленки, затрудняющая применение общего подхода.

Ключевые слова: тонкие пленки, нанокомпозиты, стеклование полимеров, нейтронная рефлектометрия.

DOI: 10.31857/S1028096024070019, EDN: EVWZOK

ВВЕДЕНИЕ

Добавление нано- и микрочастиц к полимерам для получения композитных материалов — актуальное направление исследований, развиваемое уже несколько десятилетий. Значение имеет все большая доступность наночастиц калиброванных форм и размеров, таких как фуллерены, углеродные нанотрубки, графен, неорганические наночастицы, дендриметры, бионаночастицы, а также инструментов для изучения наноразмерных объектов, таких как электронные и атомно-силовые микроскопы. Наночастицы углерода, фуллерены и углеродные нанотрубки дают возможность сочетать уникальные свойства аллотропных форм углерода с функциональными полимерами [1, 2]. В результате появляются хорошие кандидаты для новых носителей данных, фотоэлектрических элементов и фотодиодов, оптических ограничивающих устройств [3]. Тонкие полимерные пленки также перспективны для приложений, например, в качестве диэлектрических покрытий и топливных элементов, сенсоров [4]. Отметим также, что преимуществом полимерных пленок является их малая проницаемость для газообразных веществ и водяных паров, причем газопроницаемость зависит от природы органической макромолекулы, наночастиц, микро- и мезоструктуры. Благодаря этим свойствам тонкие пленки полимеров и их нанокомпозитов применяют в качестве защитных покрытий различных изделий, их можно рассматривать для использования в солнечных элементах нового поколения.

В этой связи важной проблемой является устойчивость композитных пленок. Для подавления или, по крайней мере, замедления процесса их деградации достаточно эффективно применяют различные наночастицы [2, 5–7]. Этот вопрос также связан с характером перехода жидкостьстекло тонких пленок полимерных нанокомпозитов. Наночастицы по-разному влияют на данный переход, сдвигая температуру стеклования чистой полимерной пленки $T_{\rm g}$. Отметим, что при тол-

щинах пленок менее 100 нм на $T_{\rm g}$ также влияет толщина пленки. Таким образом, при переходе к тонким композитным пленкам структурная организация наночастиц в них и влияние на нее температуры становится важным фактором для понимания свойств этих систем.

В настоящей работе исследованы тонкие композитные пленки полистирол-фуллерены C_{60}/C_{70} . В качестве метода исследований использована нейтронная рефлектометрия. В предыдущих работах выполнено предварительное моделирование экспериментальных ланных нейтронной рефлектометрии для разных толщин пленок и разного содержания наночастиц [8]. Также в [9, 10] методом рентгеновской рефлектометрии и атомно-силовой микроскопии исследованы пленки полистирол-фуллерен С60 и полистирол-фуллерен C_{70} при комнатной температуре в стеклоподобном состоянии. Для фуллерена С60 обнаружен плотный слой наночастиц у поверхности кремниевой подложки (толщина ~1 нм), что согласуется с результатами других работ [7, 11]. Впервые для фуллерена C_{70} был обнаружен аналогичный эффект, а также показано, что толщина слоя больше, чем в случае более симметричной молекулы C_{60} [10]. Измеренные температурные зависимости позволяют дополнить полученные ранее результаты новой информацией о поведении тонких пленок в различных состояниях.

ЭКСПЕРИМЕНТ

В качестве матрицы для нанокомпозитов использовали атактический полистирол (BASF, Германия, $M_{_{W}}=270~\rm кг/моль,~M_{_{n}}=95~\rm кг/моль)$ и дейтерированный полистирол (Polymer Source Inc., Канада, $M_{_{W}}=110~\rm kr/моль,~M_{_{n}}=104~\rm kr/моль)$, в качестве нанонаполнителей — фуллерены C_{60} и C_{70} ("НеоТекПродакт", Санкт-Петербург, чистота 99.5 и 99% соответственно). Полистирол и фуллерен предварительно по отдельности растворяли в толуоле (ОСЧ, "Химмед", Россия) с помощью механического перемешивания в течение суток. Далее растворы смешивали в заданных пропорциях. Для получения пленок полимера без наночастиц также брали исходный раствор полистирола.

Пленки наносили на подложку с помощью спин-коатера (Osilla Ltd., Великобритания) при разных скоростях вращения подложки в диапазоне 1000—6000 об./мин. В качестве подложек использовали кремниевые диски диаметром 3 см и толщиной 0.5 мм (Crystal Gmbh, Германия), шероховатость поверхности менее 1 нм. Подлож-

ки предварительно подвергали дополнительной очистке с помощью озонатора (UV Ozone Cleaner, Novascan, США) на протяжении 15 мин при комнатной температуре. В результате были получены однородные пленки полистирола и нанокомпозитов полистирол—фуллерен.

Всего из разных растворов на подложки были нанесены семь тонких пленок разной толщины с различным содержанием фуллеренов. Первые два образца не содержали наночастиц, дейтерированный полистирол наносили из раствора в толуоле. Следующие три образца содержали разное количество фуллерена C_{60} в матрице дейтерированного полистирола (ДПС) и также были разной толщины. Наконец, два образца с фуллереном C_{70} были приготовлены с раствором протонированного полистирола (ПС), что обеспечивало значительный контраст между наночастицами и полимером, однако при этом сильно возрастал некогерентный фон рассеянных нейтронов.

Измерения методом нейтронной рефлектометрии зеркального отражения проводили на времяпролетном рефлектометре ГРЭИНС (горизонтальная плоскость образца) на импульсном реакторе ИБР-2 ОИЯИ (г. Дубна, Россия) [12]. Плоскоколлимированный нейтронный пучок направляли на границу раздела из воздуха. Диапазон длин волн нейтронов составлял $\lambda = 1-10 \text{ Å}$ (тепловой режим замедлителя, T = 300 K), угол скольжения пучка относительно границы раздела изменяли в диапазоне $\theta = 3-25$ мрад. Соответперпендикулярная (относительно поверхности подложки) составляющая вектора рассеяния $q_z = 0.01 - 0.07 \,\text{Å}^{-1}$. Время измерения одной кривой (при одной температуре) составляло от 2 до 4 ч. Для измерений температурных зависимостей была сконструирована и изготовлена специальная ячейка, подключаемая к термостату Julabo F25-MA. Циркуляция теплопередающей жидкости по контуру ячейки обеспечивала нагрев подложки с пленкой, контроль температуры осуществляли с помощью термопары в отсеке образца. Температуру варьировали в диапазоне от 15 до 150°C. Моделирование и подгонку рефлектометрических кривых выполняли в программной оболочке IGOR Pro (www.wavemetrics.com) с помощью пакета Motofit [13].

РЕЗУЛЬТАТЫ И ИХ ОБСУЖДЕНИЕ

На рис. 1 в качестве примера представлены экспериментальные кривые зеркального отражения $R(q_z)$ для пленки с ~0.3 мас. % фуллерена C_{60} в дПС, полученные при разных температурах. Плотности длин рассеяния нейтронов фуллеренов

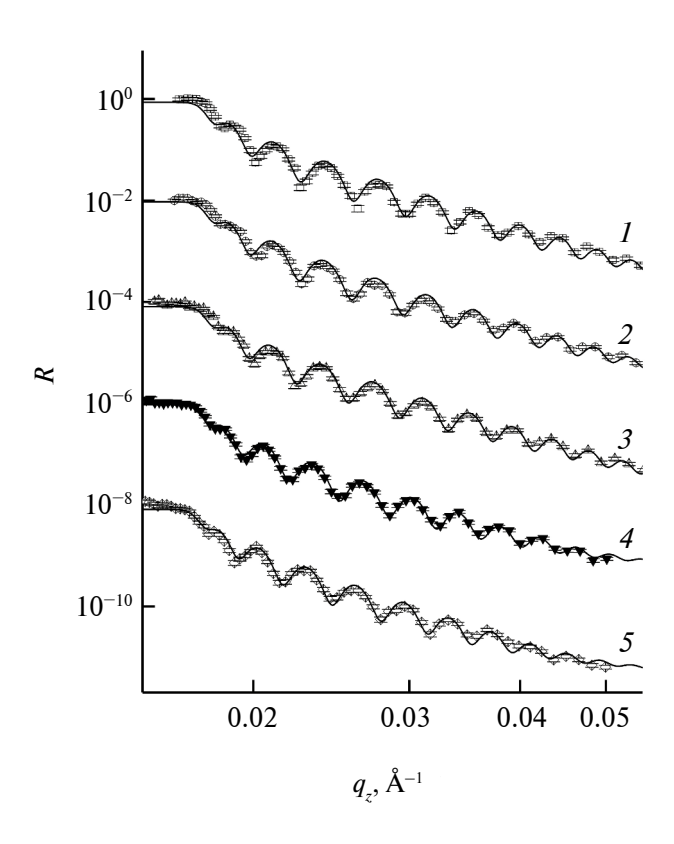


Рис. 1. Кривые зеркального отражения для тонкой пленки полимерного нанокомпозита д Π C/C₆₀ (содержание фуллерена 0.3 мас. %) при температурах: I-30; 2-65; 3-90; 4-110; 5-130°C. Символы — экспериментальные точки; сплошные линии — аппроксимация в рамках однослойной модели. Для удобства восприятия кривые разнесены по оси ординат.

и дПС близки, соответствующий контраст (разность плотностей) сравнительно мал ($\Delta \rho \sim 0.2 \times$ \times 10¹⁰ см⁻²). Как следствие, экспериментальные зависимости $R(q_z)$ хорошо аппроксимируются кривыми в рамках модели однородной пленки на кремниевой подложке с учетом оксидного слоя (толщина менее 2 нм). На основе соответствующих подгонок построена зависимость толщины пленки h(T), которая представлена на рис. 2а. Переход жидкость-стекло при температуре стеклования $T_{\rm g}$ сопровождается изменением коэффициента линейного расширения $\alpha_{\rm p}$, на зависимости h(T) наблюдается излом. Соответствующие линейные приближения зависимости h(T)дают для стеклоподобного состояния (слева от T_{a}) $\alpha_{_{n}} = (3.0 \pm 0.7) \times 10^{-4} \; \mathrm{K^{-1}}$ и жидкого состояния (справа от $T_{\rm g}$) $\alpha_{\rm p} = (2.5 \pm 0.4) \times 10^{-3} \ {\rm K}^{-1}$. Добавление фуллерена приводит к повышению коэффициента а, в обоих состояниях. Согласно [14, 15] для чистого полимера $\alpha_p = (0.8-1.3) \times 10^{-4} \, \mathrm{K}^{-1}$ (стекло), $\alpha_p = 1.8 \times 10^{-3} \, \mathrm{K}^{-1}$ (жидкость). Аналогичная обработка данных рефлектометрии и соответствующих зависимостей h(T) проведена для остальных двух пленок без наночастиц и двух пленок дПС/С₆₀ с содержанием фуллерена 0.1 и 0.15 мас. %.

Температуру стеклования оценивали по результатам измерений для трех пленок д Π C/C₆₀ с помощью подхода, проиллюстрированного рис. 26, в рамках которого построены зависимости приведенных толщин пленок $h(T)/h_0$, где h_0 — толщина пленок при 45°C (вдали от перехода).

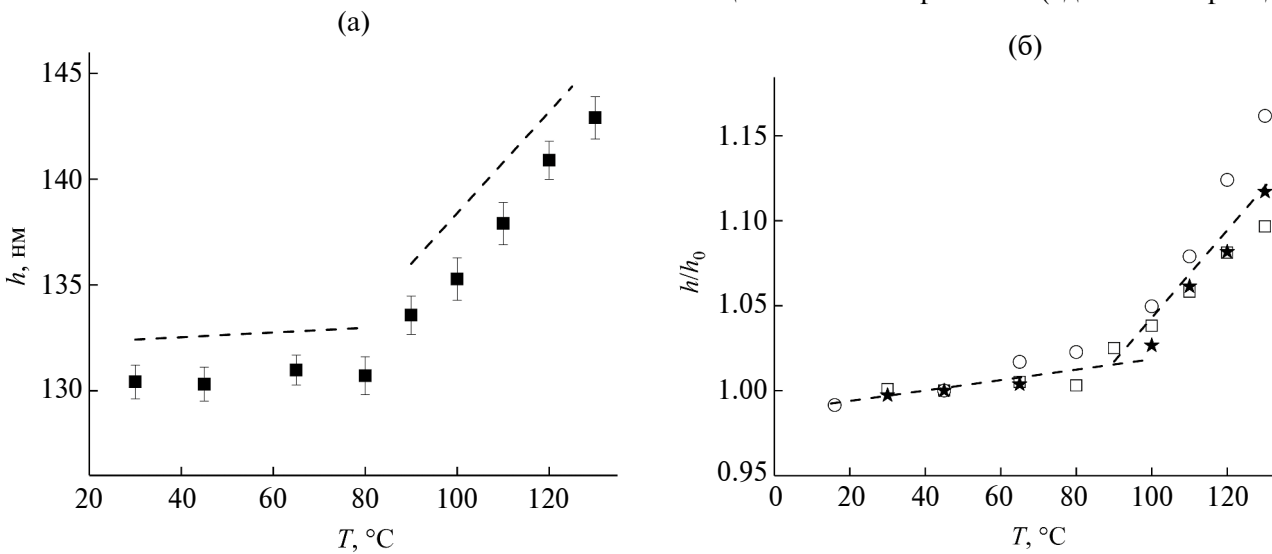


Рис. 2. Полученные на основе данных нейтронной рефлектометрии зеркального отражения температурные зависимости толщины (а) и приведенной толщины (б) пленки д Π C/C $_{60}$ с содержанием фуллерена 0.3 мас. % (а) и разным содержанием фуллерена x при различной начальной толщине пленки h_0 (T = 45°C): x = 0.3%, h_0 = 130 нм (квадраты); x = 0.1%, h_0 = 54 нм (кружки); x = 0.15%, h_0 = 114 нм (звездочки). Штриховые линии — температурные зависимости, соответствующие коэффициентам объемного расширения α_a полистирола (а) и нанокомпозитов (б) [14, 15].

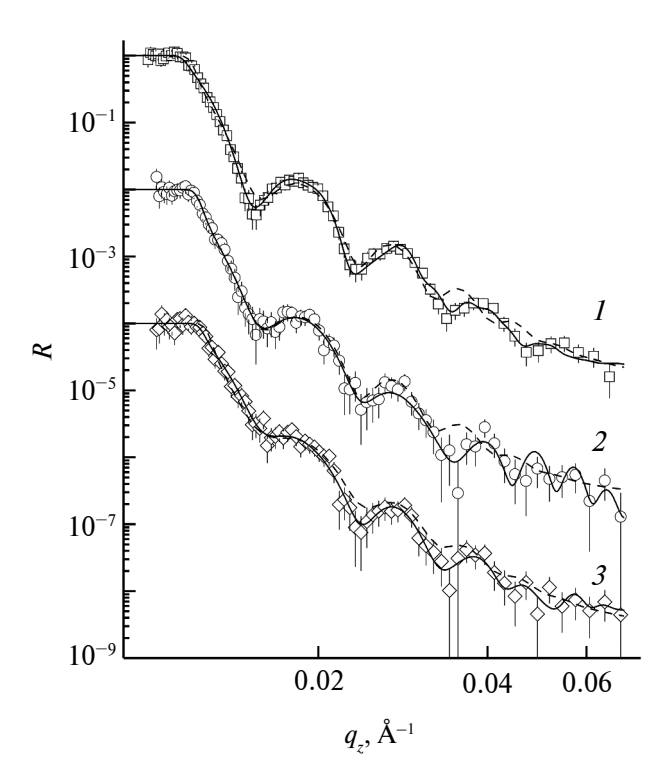


Рис. 3. Кривые зеркального отражения для тонкой пленки полимерного нанокомпозита полистиролфуллерен C_{70} (содержание фуллерена 1 мас. %) на кремниевой подложке при температурах: I-40; 2-90; 3-150°C. Символы — экспериментальные точки, линии — аппроксимация в рамках однослойной (штриховая линия) и трехслойной (сплошная линия) моделей. Для удобства восприятия кривые разнесены по оси ординат.

Эти зависимости совместно аппроксимировали линейной функцией в интервалах T < 100°C и $T \ge 100^{\circ}$ С. Расчет точки пересечения с учетом погрешности дает температуру стеклования $T_{_{\sigma}} = (89 \pm 7)^{\circ}$ С, что на 10°С отличается от температуры стеклования полистирола ($T_{\sigma} = 100^{\circ}$ C). Такое различие не может быть объяснено эффектом толщины пленок. Согласно расчетам [15, 16] для тонких пленок толщиной ~50 нм ожидаемое снижение $T_{_{\rm g}}$ составляет примерно 2°C. Следовательно, наблюдаемый эффект вызван спецификой взаимодействия полимерной матрицы и наночастиц в составе нанокомпозита. Отметим, что в случае объемных образцов аналогичного нанокомпозита полистирол-фуллерен при низком содержании наночастиц наблюдался рост температуры стеклования [17]. Это объясняется взаимодействием полимера с наночастицами, что приводит к замедлению динамики цепей и, соответственно, замедлению релаксации [18]. Этот эффект подавляется в случае полимеров с большой молекулярной массой [19]. Также он

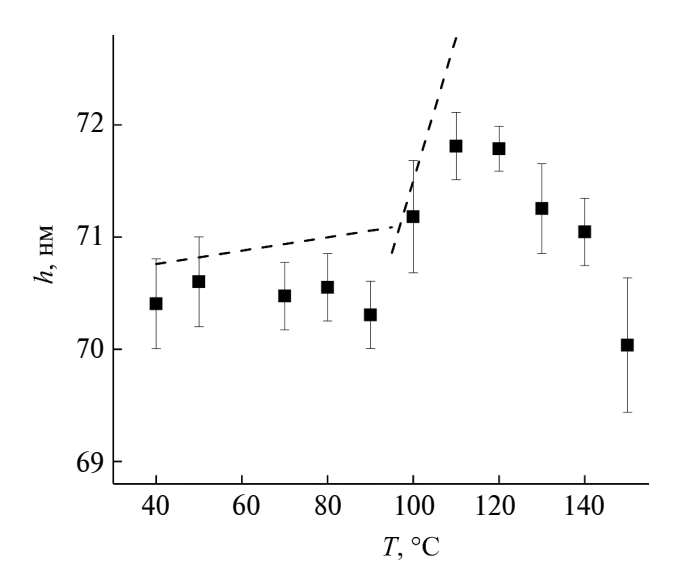


Рис. 4. Температурная зависимость толщины тонкой пленки нанокомпозита $\Pi C/C_{70}$ (содержание фуллерена 1 мас. %), полученная на основе данных нейтронной рефлектометрии зеркального отражения. Штриховые линии — соответствующие температурные зависимости коэффициентов объемного расширения полистирола до и после перехода стеклования [14, 15].

сильно зависит от вида диспергирования наночастиц. Согласно приведенным результатам переход к нанослоям также является фактором, который понижает температуру стеклования композита.

Для новой системы с менее симметричным фуллереном С70 на первом этапе температурных исследований тонких пленок использовали протонированный полистирол (система $\Pi C/C_{70}$). Это обеспечивает хороший контраст плотностей длин рассеяния между наночастицами и полимерной матрицей, однако значительно растет некогерентный фон. В случае этих систем аппроксимация кривых отражения (рис. 3) в рамках модели однородного слоя во всем интервале q_z не описывает экспериментальные данные — требуется последовательное увеличение числа слоев (до трех) в модели тонкой пленки, что улучшает качество подгонки. Это свидетельствует о неоднородном распределении фуллерена по глубине пленки. В целом получено, что плотность длины рассеяния верхней части пленки в среднем на ~20-30% выше, чем нижней. Отметим, что в предыдущих экспериментах по рентгеновской рефлектометрии плотный слой наночастиц рассматривали в рамках двухслойных моделей [9, 10] с учетом оксидного слоя. На рис. 4 представлена зависимость толщины пленки

от температуры, которая в отличие от пленок д $\Pi C/C_{60}$ существенно отклоняется от линейной при T>120°C (выше $T_{\rm g}$ на 10-20°C). В частности, наблюдается уменьшение толщины пленки, что свидетельствует о ее частичной структурной деградации.

ЗАКЛЮЧЕНИЕ

Исходя из данных нейтронной рефлектометрии зеркального отражения от тонких композитных пленок полистирол-фуллерен при низком (до 1 мас. %) содержании фуллерена, вид фуллерена (С₆₀ или С₇₀) существенным образом влияет на температурную зависимость толщины пленки в окрестности температуры стеклования полимерной матрицы (100°С). В случае пленок с фуллереном С₆₀ зависимость имеет стандартный вид, что позволяет оценить температуру стеклования композита, которая понижается по сравнению с чистым полимером в объеме. В случае пленок с фуллереном С₇₀ отклонение от стандартного поведения при высоких температурах указывает на частичную деградацию пленки. Таким образом, симметрия взаимодействия нанопримесей в композите (этим принципиально различаются два вида фуллерена — C_{60} или C_{70}) является существенным фактором, определяющим его температурную устойчивость.

ФИНАНСИРОВАНИЕ РАБОТЫ

Работа выполнена при финансировании Российским научным фондом (проект № 22–22–00281).

КОНФЛИКТ ИНТЕРЕСОВ

Авторы заявляют, что у них нет конфликта интересов.

СПИСОК ЛИТЕРАТУРЫ

- 1. Anandhan S., Bandyopadhyay S. // Nanocomposites Polymers with Analytical Methods / Ed. Cuppoletti J. Rijeka: IntechOpen, 2011. P. 3. https://doi.org/10.5772/17039
- Barnes K.A., Karim A., Douglas J.F., Nakatani A.I., Gruell H., Amis E.J. // Macromolecules. 2000. V. 33. P. 4177. https://doi.org/10.1021/ma990614s
- 3. Wang C., Guo Z.X., Fu S., Wu W., Zhu D. // Prog. Polym. Sci. 2004. V. 29. P. 1079.

- Russell T.P., Chai Y. // Macromolecules. 2017. V. 50. P. 4597. https://doi.org/10.1016/j.progpolymsci.2004.08.001
- Krishnan R.S., Mackay M.E., Duxbury P.M., Hawker C.J., Asokan S., Wong M.S., Goyette R., Thiyagarajan P. // J. Phys. Condens. Matter. 2007. V. 19. P. 356003. https://doi.org/10.1088/0953-8984/19/35/356003
- 6. Mackay M.E., Tuteja A., Duxbury P.M., Hawker C.J., Van Horn B., Guan Z., Chen G., Krishnan R.S. // Science. 2006. V. 311. P. 1740. https://doi.org/10.1126/science.1122225
- 7. Holmes M.A., Mackay M.E., Giunta R.K. // J. Nanoparticle Res. 2007. V. 9. P. 753. https://doi.org/10.1007/s11051-006-9118-1
- Karpets M.L., Tropin T.V., Bulavin L.A., Schmelzer J.W.P. // Nucl. Phys. At. En. 2018. V. 19. P. 376.
- 9. Tropin T.V., Karpets M.L., Kosiachkin Y., Aksenov V.L. // J. Surf. Invest.: X-Ray Synchrotron Neutron Tech. 2021. V. 15. P. 768. https://doi.org/10.1134/S1027451021040224
- 10. Tropin T.V., Karpets M.L., Kosiachkin Y. et al. // Fullerenes, Nanotub. Carbon Nanostructures. 2021. V. 29. P. 819. https://doi.org/10.1080/1536383X.2021.1901276
- 11. *Yaklin M.A.*, *Duxbury P.M.*, *Mackay M.E.* // Soft Matter. 2008. V. 4. P. 2441. https://doi.org/10.1039/B807565D
- 12. Авдеев М.В., Боднарчук В.И., Петренко В.И., Гапон И.В., Томчук А.В., Нагорный А.В., Ульянов В.А., Булавин Л.А., Аксенов В.Л. // Кристаллография. 2017. Т. 62. С. 1014. https://doi.org/10.7868/S0023476117060029
- 13. *Nelson A.* // J. Appl. Crystallogr. 2006. V. 39. P. 273. https://doi.org/10.1107/S0021889806005073
- 14. *Kim J.H.*, *Jang K.L.*, *Ahn K.*, *Yoon T*, *Lee T.-I.*, *Kim T.-S.* // Sci. Rep. 2019. V. 9. P. 1. https://doi.org/10.1038/s41598-019-43592-x
- 15. *Keddie J.L.*, *Jones R.A.L.*, *Cory R.A.* // Europhys. Lett. 1994. V. 27. P. 59. https://doi.org/10.1209/0295-5075/27/1/011
- 16. Forrest J.A., Dalnoki-Veress K., Stevens J.R., Dutcher J.R. // Phys. Rev. Lett. 1996. V. 77. P. 2002. https://doi.org/10.1103/PhysRevLett.77.2002
- 17. Sanz A., Wong H.C., Nedoma J.A., Douglas J.F., Cabral J.T. // Polymer. 2015. V. 68. P. 47. https://doi.org/10.1016/j.polymer.2015.05.001
- Kropka J.M., Sakal V.G., Green P.F. // Nano Lett. 2008. V. 8. P. 1061. https://doi.org/10.1021/nl072980s
- Wong H.C., Cabral J.T. // J. Phys.: Conf. Ser. 2010.
 V. 247. P. 12046.
 https://doi.org/10.1088/1742-6596/247/1/012046

Temperature Dependence of Structural Parameters of Thin Films of Polystyrene—Fullerene C_{60}/C_{70} Nanocomposite According to Neutron Reflectometry Data

T. V. Tropin¹, M. V. Avdeev¹, *, V. L. Aksenov¹

¹Frank Laboratory of Neutron Physics, Joint Institute for Nuclear Research, Dubna, Moscow Region, 141980 Russia *e-mail: avd@nf.iinr.ru

The temperature dependences of the structural parameters of thin films of polystyrene—fullerene C_{60}/C_{70} nanocomposites with a low content of nanoparticles in the vicinity of the glass transition temperature of the polymer matrix were studied by specular neutron reflectometry in the range $15-150^{\circ}$ C. The obtained temperature dependences of film thickness were used to estimate the glass transition temperature of film composites. In the case of films with C_{60} fullerene, the dependence had a standard form. The glass transition temperature of the composite film was found to decrease compared to the known value for the pure bulk polymer. In the case of films with C_{70} fullerene, upon transition to high temperatures, a non-monotonic dependence of the film thickness was observed, which hindered the application of the general approach.

Keywords: thin films, nanocomposites, glass transition of polymers, neutron reflectometry.